

В.А. Банах, И.Н. Смалихо

СЛУЧАЙНЫЕ СМЕЩЕНИЯ ЛАЗЕРНОГО ПУЧКА В ТУРБУЛЕНТНОЙ АТМОСФЕРЕ ПРИ ТЕПЛОВОМ САМОВОЗДЕЙСТВИИ

Исследуется дисперсия случайных смещений частично-когерентного лазерного пучка, распространяющегося в турбулентной атмосфере при тепловом самовоздействии.

Показано, что изменение диэлектрической проницаемости среды в области локализации пучка за счет среднего градиента наведенной температуры вызывает увеличение амплитуды случайных балансов пучка как целого по сравнению с линейной средой. Случайные неоднородности наведенной температуры, образующиеся в результате турбулентного перемешивания воздуха в пучке, могут приводить, при определенных условиях, к еще большему возрастанию дисперсии смещений.

Вопрос о случайных смещениях лазерных пучков в турбулентной атмосфере детально изучен в работах [1—3]. Показано, что для колмогоровского спектра турбулентности основной вклад в смещения вносят крупномасштабные неоднородности показателя преломления, размеры которых больше или сравнимы с радиусом пучка. С увеличением мощности лазерных генераторов в области локализации пучка может происходить изменение температуры вследствие поглощения части энергии распространяющегося излучения газами и аэрозолем атмосферы. Образуется средний градиент по сечению пучка и дополнительные случайные неоднородности температуры за счет флюктуации интенсивности излучения и турбулентного перемешивания нагретого воздуха. В этой ситуации возникает закономерный вопрос о влиянии наведенных температурных неоднородностей среды на случайную рефракцию лазерных пучков. В настоящей работе рассматривается дисперсия смещений частично-когерентного лазерного пучка при тепловом самовоздействии в турбулентной атмосфере.

Положение пучка в плоскости, перпендикулярной направлению распространения, будем по аналогии с [3] характеризовать при помощи координат центра тяжести случайного распределения интенсивности. Тогда выражение для дисперсии случайных смещений энергетического центра тяжести можно представить в виде [3]

$$\sigma_{\rho}^2 = \int d^2\rho_1 d^2\rho_2 \rho_1 \rho_2 B_I(x, \rho_1, \rho_2, t) / P_0^2, \quad (1)$$

где B_I — пространственная корреляционная функция флюктуации интенсивности излучения; x — длина трассы; P_0 — полный поток излучения; t — текущее время.

Для расчета дисперсии σ_{ρ}^2 воспользуемся результатами работы [5], где получена формула для пространственной корреляционной функции интенсивности частично-когерентного гауссова пучка, распространяющегося в турбулентной атмосфере при тепловом самовоздействии. Формула найдена для условий слабых [2, 3] флюктуаций интенсивности с учетом в безабберационном приближении дефокусировки пучка средним температурным профилем и пространственно временных флюктуаций наведенной температуры за счет турбулентного перемешивания воздуха. Неоднородности показателя преломления, образующиеся из-за неравномерности нагрева, вызываемой флюктуациями интенсивности в лазерных пучках, мелкомасштабны [4] и, следовательно, их влияние на случайные смещения пучка, как целого, будет невелико. Напротив, характерные масштабы неоднородностей, возникающих вследствие турбулентного перемешивания, сравнимы с поперечными размерами пучка. С увеличением мощности источника роль этих неоднородностей в искажении пространственной структуры интенсивности возрастает [5], что, согласно (1), не может не сказываться на величине случайных смещений лазерных пучков.

Подставив выражение для B_I из [5] в (1) и проинтегрировав по ρ_1 и ρ_2 , для дисперсии случайных смещений получаем

$$\sigma_{\rho}^2 = \sigma_{\rho 1}^2 + \sigma_{\rho 2}^2, \quad (2)$$

где

$$\sigma_{\rho 1}^2 = \sigma_{z1}^2 + \sigma_{y1}^2 = \sigma_0^2 3 \int_0^1 d\xi \xi^2 \int_0^1 d\eta \eta^2 [G^{-1/6} - (G + 2/(z_0 a)^2)^{-1/6}] +$$

$$+ \sigma_0^2 3 \int_0^1 d\xi \mu_y^2 \int_0^1 d\eta \gamma_y^2 [G^{-1/6} - (G + 2/(\kappa_0 a)^2)^{-1/6}] \quad (3)$$

— дисперсия смещений пучка за счет естественных турбулентных неоднородностей показателя преломления с учетом влияния среднего профиля наведенной температуры,

$$\begin{aligned} \sigma_{\xi^2}^2 = & \sigma_{z^2}^2 + \sigma_{y^2}^2 = \sigma_0^2 2,5 \left(\frac{L_V}{ka^2} / \beta_g^2 \right) \left(\frac{ka^2}{R_{\text{пл}}} \right)^4 \times \left\{ \int_0^1 d\xi \mu_z^2 \frac{t^2}{\tau_V^2} \cdot \int_0^1 \int_0^1 d\tau_1 d\tau_2 [A_z(\theta) - A_z(0)] + \right. \\ & \left. + \int_0^1 d\xi \mu_y^2 \frac{t^2}{\tau_V^2} \int_0^1 \int_0^1 d\tau_1 d\tau_2 A_y(\theta) \right\} \end{aligned} \quad (4)$$

— слагаемое, описывающее смещения пучка, обусловленные флюктуациями наведенной температуры.

В формулах (3)–(4) $\sigma_0^2 = \frac{\pi^2}{3} 2^{-5/6} \cdot 0,033G \left(\frac{1}{6} \right) C_e^2 x^3 a^{-1/3}$ — дисперсия случайных смещений пучка, вы-

численная в отсутствие самовоздействия в приближении „заданного поля” [2, 3]; C_e^2 — структурная характеристика турбулентных флюктуаций диэлектрической проницаемости воздуха; a — начальный радиус пучка; L_V — интегральный масштаб пространственной корреляции флюктуаций скорости ветра; κ_0 — минимальное волновое число, соответствующее внешнему масштабу турбулентности ($\kappa_0 \sim L_V^{-1}$); $k = 2\pi/\lambda$, λ — длина волны излучения; $\beta_g^2 = 0,31C_e^2 k^{7/6} (ka^2)^{11/6}$ — параметр, характеризующий турбулентные условия распространения излучения на расстоянии, равном длине дифракции ka^2 , $\tau_V = a/V$, V — поперечная к направлению распространения составляющая средней скорости ветра;

$$\begin{aligned} \gamma_z &= \cos \frac{\pi}{2} \eta, \quad \gamma_y = \sin \frac{\pi}{2} \eta, \quad G = g_z^2(x_\xi^z, t) \gamma_z^2 + g_y^2(x_\xi^z, t) \gamma_y^2, \\ A_z(\theta) &= B_a e^{-U/V} \sqrt{Q_z Q_y}, \quad U = (m_{z2} P_1^2 + m_{z1} P_2^2 - 2\theta P_1 P_2)/(a^2 Q_z), \\ B_z &= [\theta(1 - 2U) + 2P_1 P_2/a^2]/Q_z, \quad B_y = \theta/Q_y, \quad Q_a = m_{a1} m_{a2} - \theta^2, \\ P_j &= R_C(x_\xi^z, t) - R_C(x_\xi^z, t\tau_j) - t(1 - \tau_j)V, \quad m_{aj} = g_a^2(x_\xi^z, t) + \\ &+ g_a^2(x_\xi^z, t\tau_j) + 2D(t - t\tau_j)/a^2, \quad D(\tau) = 2 \int_0^\tau d\tau' (\tau - \tau') B_V(\tau) \end{aligned}$$

— функция, описывающая турбулентную диффузию „жидкой” частицы; $B_V(\tau)$ — временная корреляционная функция лагранжевой скорости ветра [6] (для расчетов использовалась зависимость вида $B_V(\tau) = \sigma_V^2 e^{-\tau/\tau_k}$, где σ_V^2 — дисперсия, а τ_k — временной масштаб корреляции флюктуации лагранжевой скорости ветра),

$$\begin{aligned} \gamma &= 1 - [1 - \exp\{- (1 - e^{-V^2}) t/\tau_V\}] \sqrt{(\sigma_V/V)^2/(1 + \sigma_V^2/V^2)}, \\ \theta &= [D(t - t\tau_1) + D(t - t\tau_2) - D(t|\tau_1 - \tau_2|)]/a^2, \\ u_\alpha &= u_{z1}(x, t) u_{z2}(x_\xi^z, t) - u_{a2}(x, t) u_{z1}(x_\xi^z, t), \\ g_a(x, t) &= [u_{z1}^2(x, t) + (1 + a^2/a_k^2) u_{a2}^2(x, t) x^2/(ka^2)^2]^{1/2} \end{aligned}$$

— безразмерная ширина пучка вдоль оси z , параллельной направлению средней скорости ветра при $\alpha = z$ и вдоль оси y при $\alpha = y$, a_k — радиус когерентности в плоскости $x = 0$.

Функции $u_{1\alpha}$, $u_{2\alpha}$ и величина регулярной рефракции пучка на ветер R_C образуют систему уравнений:

$$\frac{d^2}{dz^2} u_{aj}(x_\xi^z, t) = \frac{2}{V^2} \cdot \frac{x^2}{R_{\text{пл}}^2} \cdot \frac{t}{\tau_V} \int_0^1 d\tau_1 \tilde{m}_z^{-1/2} \tilde{m}_y^{-1/2} e^{-p_1^2/z} u_{aj}(x_\xi^z, t), \quad (5)$$

$$\begin{aligned} \frac{d^2}{d\xi^2} R_C(x\xi, t) = & \frac{2}{V\pi} \cdot \frac{x^2}{R_{\text{нл}}^2} \cdot \frac{t}{\tau_V} \int_0^1 d\tau_1 \tilde{m}_z^{-3/2} \tilde{m}_y^{-1/2} \left[R_C(x\xi, t\tau_1) + \right. \\ & \left. + (1 - \tau_1) Vt - 2R_C(x\xi, t) \frac{P_1^2}{\tilde{m}_z} \right] e^{-P_1^2/\tilde{m}_z} \end{aligned} \quad (6)$$

с начальными условиями $u_{\alpha}(0, t) = du_{\alpha 2}(0, t)/d\xi = 1$, $du_{\alpha 1}(0, t)/d\xi = u_{\alpha 2}(0, t) = 0$, $u_{\alpha 1}(x\xi, 0) = 1$, $u_{\alpha 2}(x\xi, 0) = \xi$, $R_C(x, 0) = R_C(0, t) = dR_C(0, t)/d\xi = 0$.

В (4)–(6) $R_{\text{нл}} = \left[-\frac{1}{2} \sqrt{\pi} \frac{\partial \epsilon}{\partial T} \alpha_{\text{п}} I_0(\rho c_p V a) \right]^{1/2}$ — характерная длина теплового самовоздействия при однородном ветре; $\alpha_{\text{п}}$, ρ и c_p — соответственно коэффициент поглощения, плотность и теплоемкость воздуха; I_0 — пиковая интенсивность в плоскости излучения; $\tilde{m}_{\alpha} = m_{\alpha} - g_{\alpha}^2(x\xi, t)$, $q_z = (1 - 2P_1^2/\tilde{m}_z)/\tilde{m}_z$, $q_y = 1/\tilde{m}_y$.

Прежде чем перейти к анализу результатов расчета по формулам (2)–(6), рассмотрим дисперсию случайных смещений пучка, распространяющегося в турбулентной среде внутри цилиндрического канала с параболическим профилем диэлектрической проницаемости. При этом будем считать, что оптические оси пучка и канала совпадают. В этом случае дисперсия смещений для колмогоровского спектра турбулентности [2] в ближней зоне дифракции $x \ll ka^2/\sqrt{1+a^2/a_k^2}$ запишется в виде

$$\sigma_{\rho}^2 = \sigma_0^2 3 \int_0^1 d\xi u_2^2(x(1-\xi)) u_1^{-1/3}(x\xi). \quad (7)$$

Если канал дефокусирующий, то $u_1(x) = \text{ch}(x/L_T)$, $u_2(x) = (L_T/x) \cdot \text{sh}(x/L_T)$, где L_T — длина, характеризующая оптическую силу канала. При $x/L_T \ll 1$ и $x/L_T \gg 1$ соответственно имеем

$$\sigma_{\rho}^2 = \sigma_0^2 \left[1 + \frac{11}{60} \left(\frac{x}{L_T} \right)^2 \right] \text{ и } \sigma_{\rho}^2 = \sigma_0^2 2^{-5/3} \frac{3}{7} \exp \left(2 \frac{x}{L_T} \right) \left(\frac{x}{L_T} \right)^3.$$

Для фокусирующего канала $u_1(x) = |\cos(x/L_T)|$, $u_2(x) = (L_T/x) \sin(x/L_T)$ асимптотика при $x/L_T \ll 1$ дает $\sigma_{\rho}^2 = \sigma_0^2 \left[1 - \frac{11}{60} \left(\frac{x}{L_T} \right)^2 \right]$, а при $x/L_T = \frac{\pi}{2}$

$$\sigma_{\rho}^2 = \sigma_0^2 \left(\frac{\pi}{2} \right)^{-3} \frac{3}{2} \Gamma \left(\frac{1}{6} \right) \Gamma \left(\frac{4}{3} \right) / \Gamma \left(\frac{11}{6} \right) \approx 0,65 \sigma_0^2.$$

Отсюда видно, что в случае дефокусирующего канала, несмотря на уширение пучка, происходит увеличение дисперсии σ_{ρ}^2 по сравнению со средой в отсутствие канала, а в случае фокусирующего канала, наоборот, уменьшение. На уменьшение амплитуды случайных смещений пучка в фокусирующем канале указывалось также в работе [7]. Физически данный результат объясняется следующим образом. Преломление лучей случайными линзами в области, прилежащей к источнику и вносящей основной вклад в смещения пучка, как целого, в турбулентной среде [3], отклоняет их в ту или иную сторону относительно исходного направления оси пучка. По мере распространения эти лучи испытывают рефракцию вследствие регулярного градиента показателя преломления в канале. В дефокусирующем канале они дополнительно отклоняются в сторону от первоначального осевого направления, в фокусирующем — испытывают отклонение в противоположную сторону.

Аналогичная ситуация имеет место и в турбулентной атмосфере при тепловом самовоздействии лазерного излучения. Здесь, однако, рефракционный канал, определяемый средним профилем наведенной температуры, несимметричен. Для стационарного режима самовоздействия вдоль оси $z \parallel \langle \mathbf{V} \rangle$ (параллельной направлению ветра) нелинейного уширения пучка не происходит, так что дисперсия смещений в отсутствие флуктуации скорости ветра ($\sigma_V/V \approx 0$) принимает те же значения, что и в линейной среде [2, 3]. По оси y ($y \perp \langle \mathbf{V} \rangle$) пучок испытывает дефокусировку и дисперсия смещений пучка в этом направлении, как видно из рис. 1 при ($\sigma_V/V \approx 0$, больше, чем в турбулентной среде в отсутствие самовоздействия).

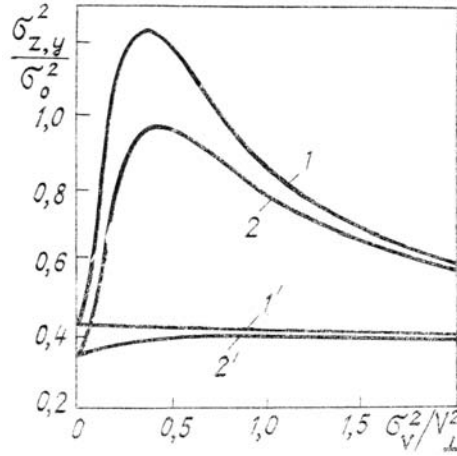


Рис. 1. Зависимость дисперсии смещений пучка от флуктуации скорости ветра: $\tau_k/\tau_V = 10$; $(x_0a)^{-2} = 10^3$; $a^2/a_k^2 = 100$; $ka^2/R_{\text{нл}} = 20$; $x/ka^2 = 0,1$; 1, 1' — σ_y^2 ; 2, 2' — σ_z^2 ; 1, 2 — $\frac{L_V}{ka^2}/\beta_g^2 = 2 \cdot 10^{-4}$; 1', 2' — $\frac{L_V}{ka^2}/\beta_g^2 = 2 \cdot 10^{-5}$

На рис. 1 представлены результаты расчета дисперсии σ_p^2 , по формулам (2) — (6) в зависимости от флуктуации скорости ветра. Когда флуктуации скорости ветра отличны от нуля, то образующиеся вследствие турбулентного перемешивания дополнительные крупномасштабные неоднородности порядка размера пучка [5] приводят к еще большему увеличению дисперсии случайных смещений. При значениях $\sigma_V^2/V^2 \approx 0,4$ (V фиксировано) вклад этих неоднородностей наиболее существен [5], и σ_p^2 достигает максимума. Если же флуктуации наведенной температуры малы (кривые 1', 2'), то незначительное увеличение σ_p^2 происходит главным образом за счет канала, образованного средним температурным профилем, который с увеличением отношения σ_V^2/V^2 становится все более симметричным.

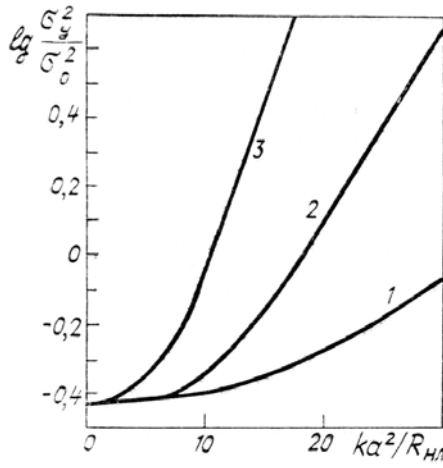


Рис. 2. Зависимость дисперсии смещений пучка от параметра $ka^2/R_{\text{нл}}$: $\tau_k/\tau_V = 10$; $(x_0a)^{-2} = 10^3$; $a^2/a_k^2 = 0$; $\sigma_V^2/V^2 = 0,5$; $x/ka^2 = 0,1$; 1 — $\frac{L_V}{ka^2}/\beta_g^2 = 2 \cdot 10^{-5}$; 2 — $\frac{L_V}{ka^2}/\beta_g^2 = 2 \cdot 10^{-4}$; 3 — $\frac{L_V}{ka^2}/\beta_g^2 = 2 \cdot 10^{-3}$

На рис. 2 представлена зависимость дисперсии смещений пучка по оси y от параметра нелинейности $ka^2/R_{\text{нл}}$. Кривые 1—3 различаются значениями параметра $\frac{L_V}{ka^2}/\beta_g^2$, характеризующего вклад наведенных неоднородностей температуры. Если кривая 1 соответствует условию $\sigma_{p1}^2 \gg \sigma_{p2}^2$ (случайные смещения пучка за счет наведенных неоднородностей температуры незначительны), то кри-

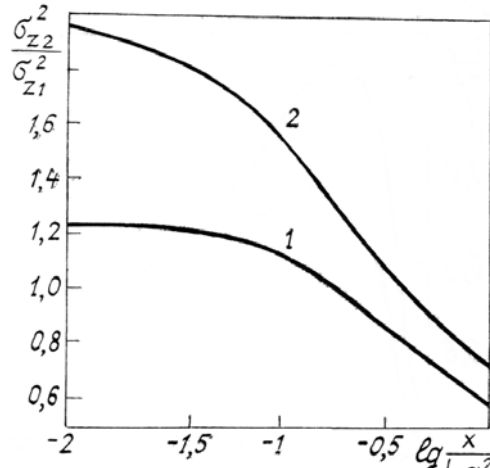


Рис. 3. Изменение отношения $\sigma_{z2}^2/\sigma_{z1}^2$ вдоль трассы распространения: $\tau_k/\tau_V = 10$; $(x_0a)^{-2} = 10^3$; $a^2/a_k^2 = 0$; $\sigma_V^2/V^2 = 0,5$; 1 — $ka^2/R_{\text{нл}} = 10$, $\frac{L_V}{ka^2}/\beta_g^2 = 2 \cdot 10^{-3}$; 2 — $ka^2/R_{\text{нл}} = 20$, $\frac{L_V}{ka^2}/\beta_g^2 = 2 \cdot 10^{-4}$

вые 2, 3 описывают дисперсию смещений пучка, когда выполняется условие $\sigma_{\rho 2}^2 \gg \sigma_{\rho 1}^2$. Видно, что из-за наведенных случайных „клиньев” пучок может смещаться значительно сильнее, чем из-за естественных неоднородностей показателя преломления.

На рис. 3 показано изменение с расстоянием отношения $\sigma_{z2}^2 / \sigma_{z1}^2$. Из рисунка видно, что наибольшее влияние на случайные смещения пучка флуктуации наведенной температуры оказывают в ближней зоне дифракции $x/ka^2 \ll 1$. Уменьшение с расстоянием отношения $\sigma_{z2}^2 / \sigma_{z1}^2$ объясняется тем, что оптическая сила наведенных неоднородностей температуры уменьшается с увеличением длины трассы вследствие дефокусировки пучка.

Представленные результаты получены для случая стационарного самовоздействия $t/\tau_V \gg 1$. Анализ нестационарности показал, что, так же как для флуктуации интенсивности [5], время установления стационарного режима случайных смещений пучка определяется временем выхода на стационарный уровень флуктуации наведенной температуры. В частности, при определенных условиях оно может быть пропорционально времени корреляции флуктуации скорости ветра [5].

С ростом турбулентных искажений излучения на трассе (параметра $\beta_0^2 = \beta_g^0 x^{11/6} (ka^2)^{-11/6}$) вклад случайных блужданий пучка как целого в размытие среднего профиля интенсивности становится определяющим ($\sigma_{\rho}^2 \sim a^2$) [2]. Поэтому увеличение боковых случайных смещений пучка при тепловом самовоздействии по сравнению с линейной средой необходимо учитывать при анализе эффективности работы оптических систем в атмосфере. В частности, это важно принимать во внимание при разработке адаптивных лазерных систем.

1. Кляцкин В.И., Татарский В.И. // Изв. вузов. Радиофизика. 1970. Т. 13. № 7. С. 1061–1068.
2. Миронов В.Л. Распространение лазерного пучка в турбулентной атмосфере. Новосибирск: Наука. 1981. 246 с.
3. Гурвич А.С., Кон А.И., Миронов В.Л., Хмелевцов С.С. Лазерное излучение в турбулентной атмосфере. — М.: Наука. 1976. 277 с.
4. Воробьев В.В. Тепловое самовоздействие лазерного излучения в атмосфере. М.: Наука. 1987. 200 с.
5. Банах В.А., Смалихо И.Н. // Квантовая электроника. 1988. Т. 15 (в печати).
6. Монин А.С., Яглом А.М. // Статистическая гидромеханика. М.: Наука. 1965. Ч. I; 1967. Ч. II.
7. Воробьев В.В. // Изв. вузов. Радиофизика. 1970. Т. 13. № 7. С. 1053–1060.

Институт оптики атмосферы
СО АН СССР, Томск

Поступила в редакцию
4 апреля 1988 г.

V. A. Banakh, I. N. Smalikhо. **Random Laser Beam Displacements in a Turbulent Atmosphere in the Presence of Thermal Blooming.**

The variance of random partially coherent laser beam displacements in a turbulent atmosphere in the presence of thermal blooming is discussed. The variation of the propagation medium permittivity due to the laser-induced mean temperature gradient is shown to increase the random beam wander amplitude as compared to the linear case. Under certain conditions the laser-induced random temperature inhomogeneities caused by the turbulent mixing may further enhance the beam displacement variance.